



SHANGHAI JIAO TONG
UNIVERSITY

2024 TCCT 逻辑系统控制专题大会

状态相关衰落信道下异构工业物联网系统的最优控制

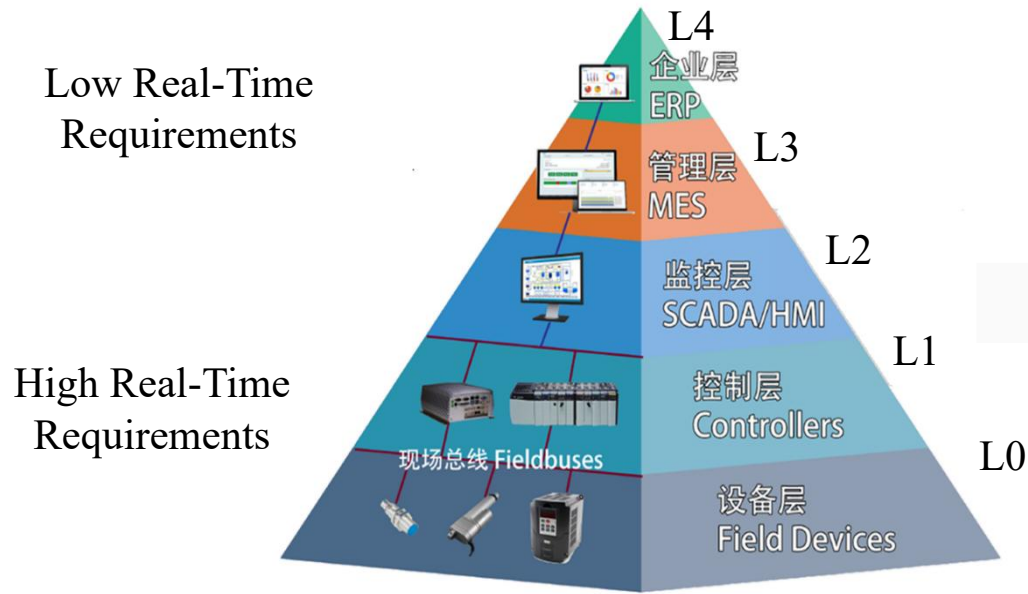
朱善迎

上海交通大学自动化系

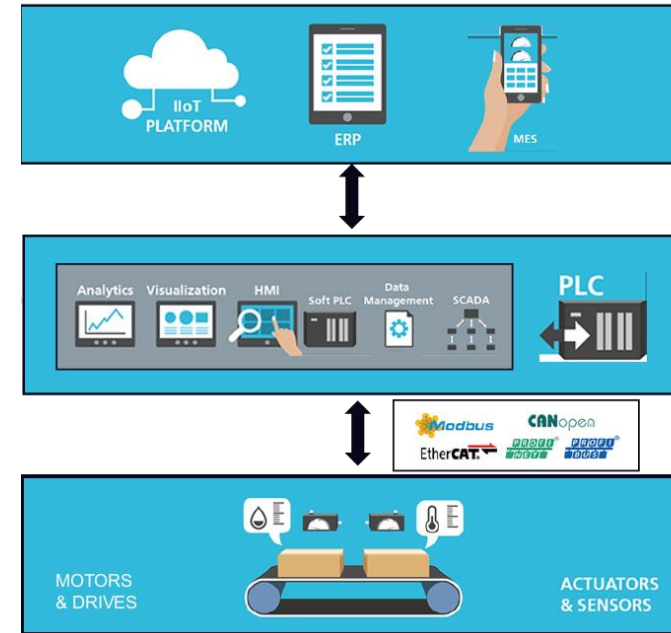
2024年8月12日

Introduction

Industrial automation is entering a new era of the Industrial Internet.



ISA-95 reference architecture

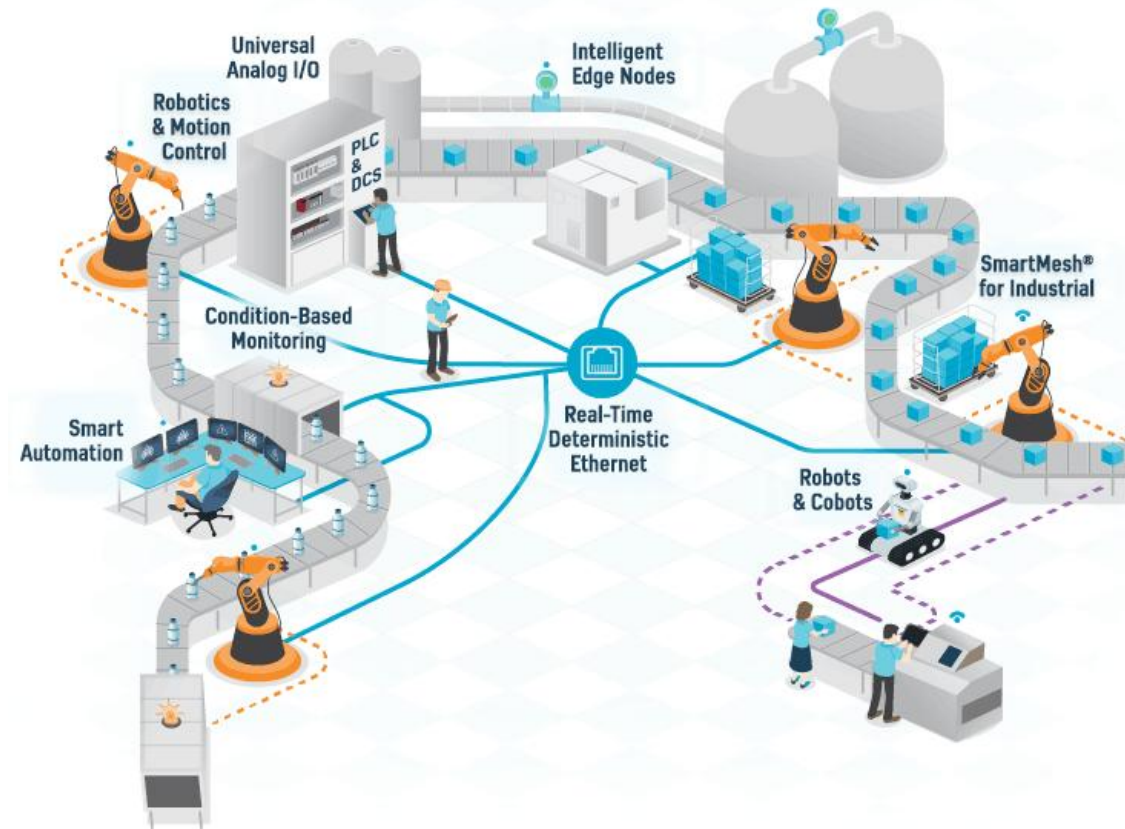


End-Edge-Cloud orchestrated architecture

Enhanced computing, communication, and storage capabilities.

The paradigm of automation systems is shifting from the ISA-95 pyramid to the end-edge-cloud orchestrated architecture.

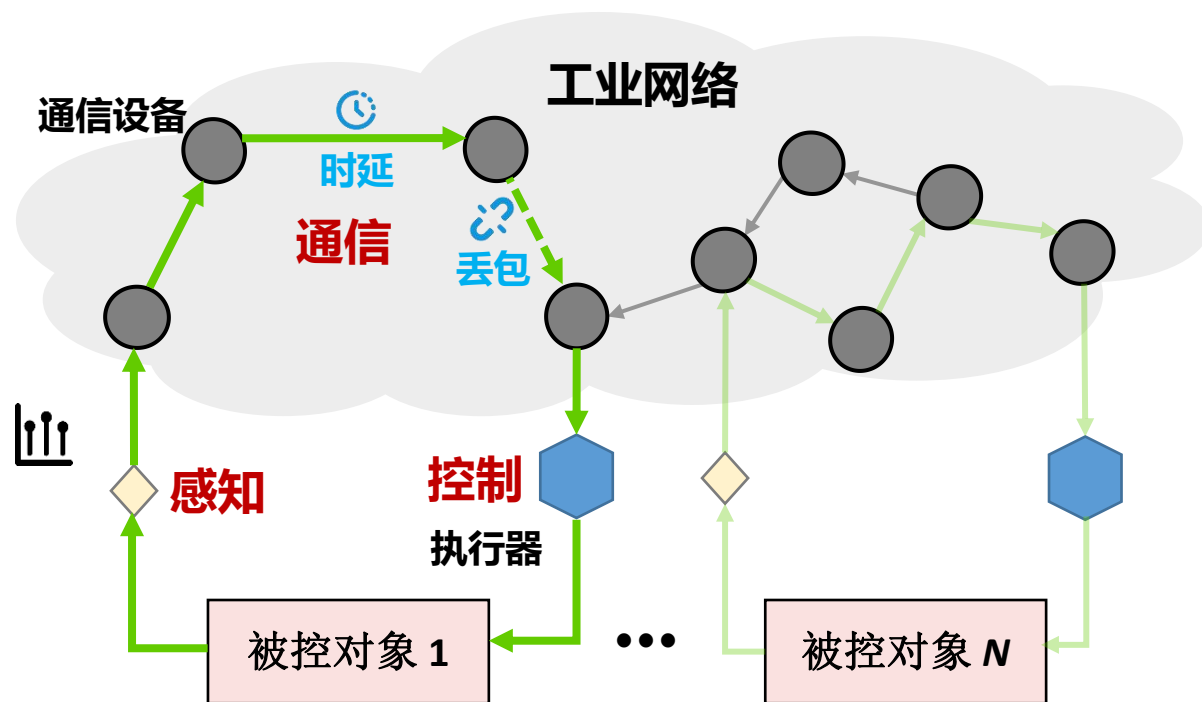
□ An example



- Facilitate agile connectivity, real-time control, and data optimization
- Enable intelligent applications at both the cloud and field levels
- Ensure tight security, and protect privacy
- Optimized use of sensing, communication, computation, and storage resources

Motivation

□端到端QoS依赖于感知-通信-控制全链路



□感、传、控紧密关联，需要联合设计提升系统整体性能

工业现场环境复杂多变、网络资源有限₄

感知与控制联合设计

物理过程

$$\begin{aligned} \mathbf{x}(t+1) &= A_t \mathbf{x}(t) + B_t \mathbf{u}(t) + \mathbf{w}(t) & \mathbf{x} \in R^p, \mathbf{y} = [\mathbf{y}_1^T, \dots, \mathbf{y}_n^T]^T \in R^l \\ \mathbf{y}_i(t) &= G_{i,t} [C_{i,t} \mathbf{x}(t) + \mathbf{v}_i(t)], i = 1, 2, \dots, n \end{aligned}$$

控制输入

传感器数量

感知矩阵: 取值为 I 或 0 , $G_{i,t} = I$ 表示 t 时刻选择第 i 个传感器进行测量

感知的充分度: 可观性 (状态估计的必要条件)

系统在 $[1, T]$ 上可观当且仅当

$$\begin{bmatrix} G_1 C_1 \\ G_2 C_2 A_1 \\ \vdots \\ G_T C_T \prod_{t=1}^{T-1} A_t \end{bmatrix} \text{列满秩}$$
$$G_t = \begin{bmatrix} G_{1,t} & & \\ & \ddots & \\ & & G_{n,t} \end{bmatrix}, C_t = \begin{bmatrix} C_{1,t} \\ \vdots \\ C_{n,t} \end{bmatrix}$$

□ Kalman 滤波器

$$\hat{\mathbf{x}}_{t+1|t} = A_t \hat{\mathbf{x}}_{t|t} + B_t \mathbf{u}(t)$$

$$\hat{\mathbf{x}}_{t+1|t+1} = \hat{\mathbf{x}}_{t+1|t} + \gamma_t K_t [\mathbf{y}_{t+1} - G_{t+1} C_{t+1} \hat{\mathbf{x}}_{t+1|t}]$$

K_t 是Kalman增益,

$\gamma_k = 0$ 或 1

□ 可观性约束的感知-控制联合设计

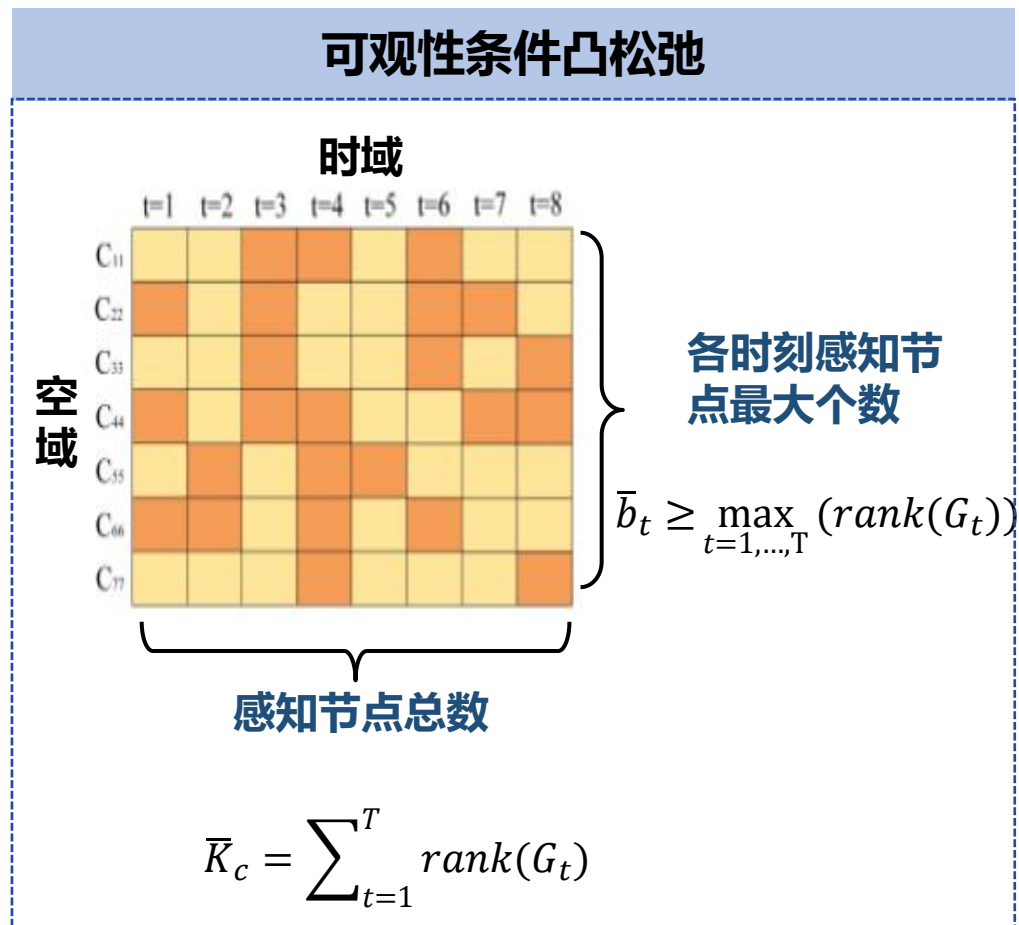
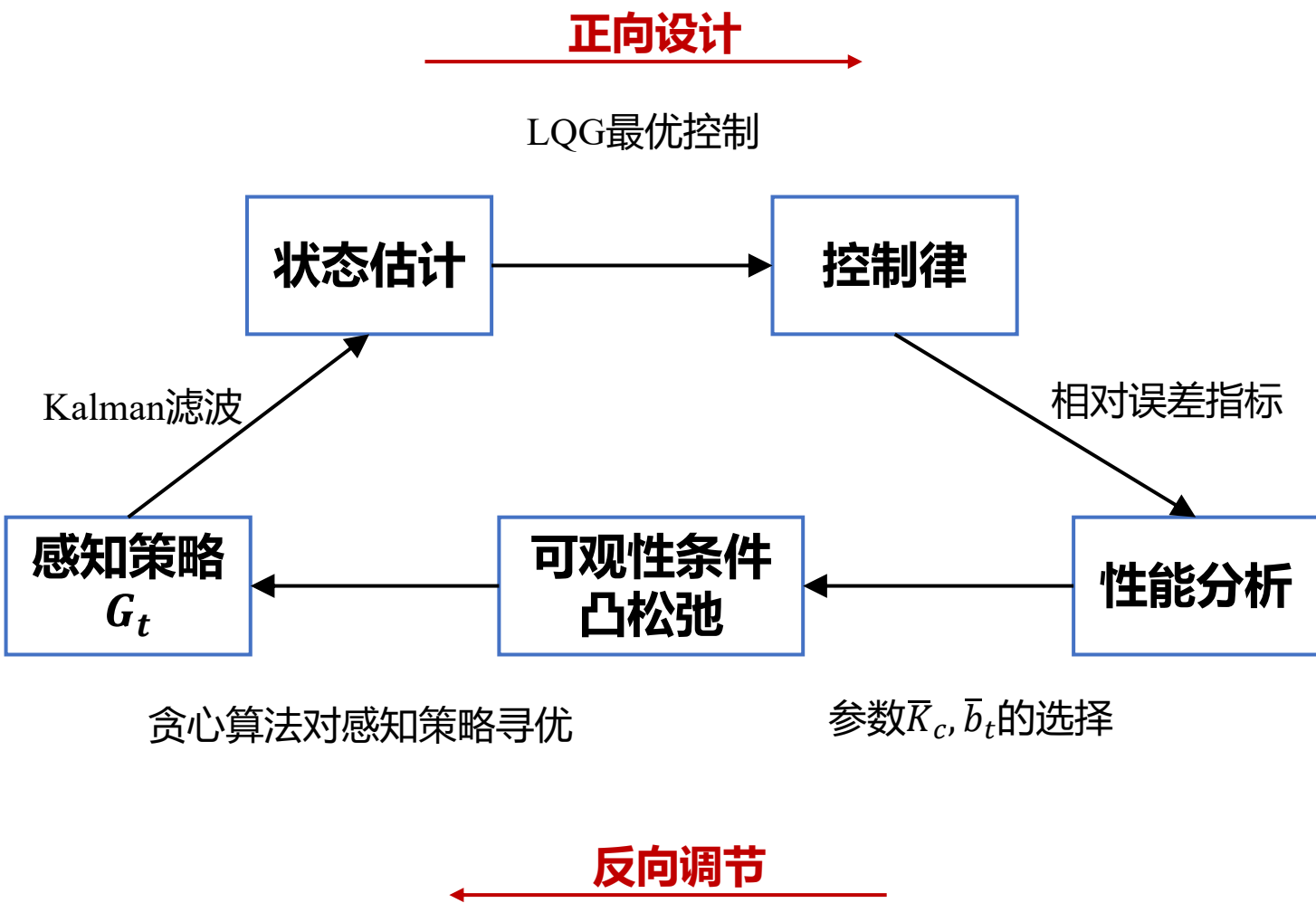
$$\min_{\mathcal{X}=\{\mathbf{u}(t), G_t\}} f(\mathcal{X}) = \sum_{t=1}^T \mathbb{E} \left[\|\mathbf{x}(t+1) - \mathbf{z}(t+1)\|_{Q_t}^2 + \|\mathbf{u}(t)\|_{R_t}^2 \right]$$

s.t. 系统动态

Kalman滤波器

$G_t \in \mathcal{C}$ (可观性条件)

正向设计+反向调节



□ 正向设计：给定感知策略 G_t 下的LQG控制

$$\min_{\mathcal{X}=\{\mathbf{u}(t)\}} f(\mathcal{X}) = \sum_{t=1}^T \mathbb{E} \left[\|\mathbf{x}(t+1) - \mathbf{z}(t+1)\|_{Q_t}^2 + \|\mathbf{u}(t)\|_{R_t}^2 \right]$$

s.t. 系统动态

Kalman滤波器

- 最优控制策略 $\mathbf{u}(t) = \mathbf{K}_t[\mathbf{A}_t\hat{\mathbf{x}}_{t|t} - \mathbf{z}(t+1)]$

□ 反向调节：贪心法对感知策略寻优

$$\min_{\mathcal{X}=\{G_t\}} f(\mathcal{X})$$

s.t. $G_t \in \mathcal{C}$



$$\min_{\mathcal{X}=\{G_t\}} \sum_{t=1}^T \text{tr}[\mathbf{Y}_k \Gamma_{k|k}(\mathcal{S} \cup G_{i,t})]$$

s.t. $\text{rank}(G_{i,t}) \leq \bar{b}_t$

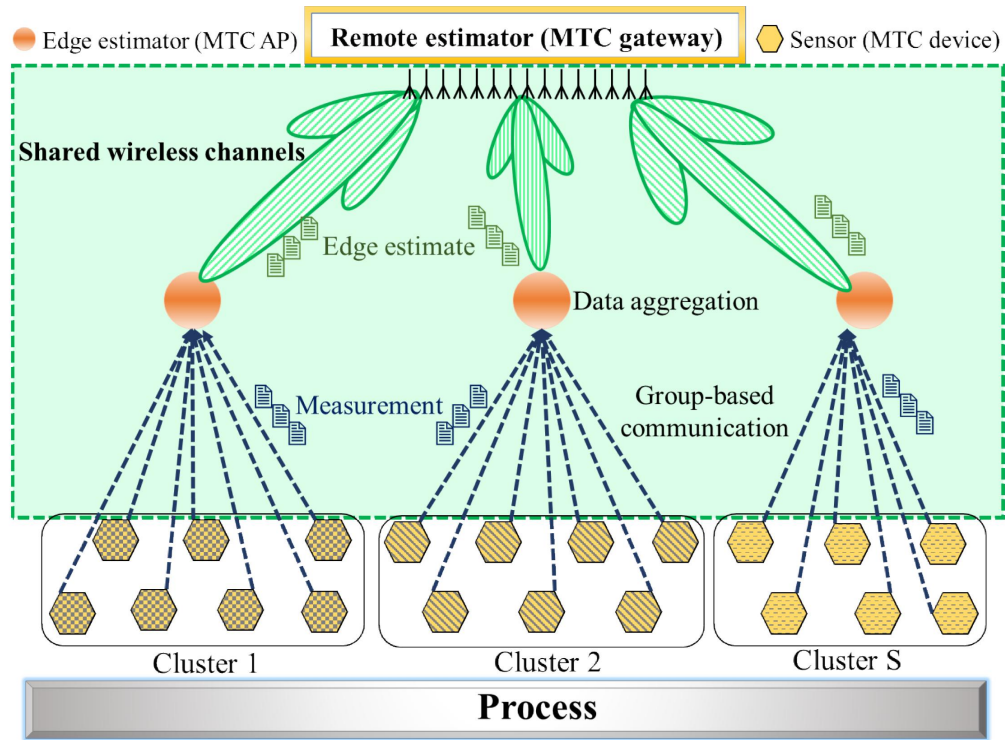
- 相对性能指标

$$\frac{f - f^*}{f_o - f^*} \leq e^{-\theta}, \quad \theta \geq \frac{\Delta_{\min}}{\Delta_{\max}}$$

该上界随着 \bar{b}_t 的下降非增

感知与传输联合设计

被动适应环境 vs. 主动改善通信质量?



- **底层（分组通信）**：匹配感知工艺的信息分组，传输到边缘估计终端
- **中间层（边缘估计）**：进行边缘预处理和融合，减少冗余信息传输
- **远端（全局校正）**：能量、频谱、时间等传输资源多域优化，实现全局的状态估计

□ 优化目标：最小化感知误差和能量消耗的加权和

$$\min_{\{p, q, \mathbf{w}, \delta, \Delta, \nabla\}} \sum_{t=1}^{\tau} \vartheta_e \text{Tr}(\mathbb{E}\{W_t\}) + \vartheta_c \mathcal{E}_t$$

▪ 约束条件：

	传输约束	感知约束
$\sum_{i \in \mathcal{N}_s} \delta_{i,m,t} \leq 1$	$\sum_{m \in \mathcal{M}} \delta_{i,m,t} p_{i,m,t} \leq p_{max}$	$\max_{i \in \mathcal{N}_s, s \in \mathcal{S}} (1 - \phi_{i,t}) < \mathcal{N}_s(A, C_s, F_s)$
$\sum_{m \in \mathcal{M}} \delta_{i,m,t} \leq 1$	$q_{s,t} \ \mathbf{w}_{s,t}\ ^2 + q_{s,0} \leq q_{max}$	
信道分配约束	传输功率约束	边缘估计收敛条件

▪ 优化变量：

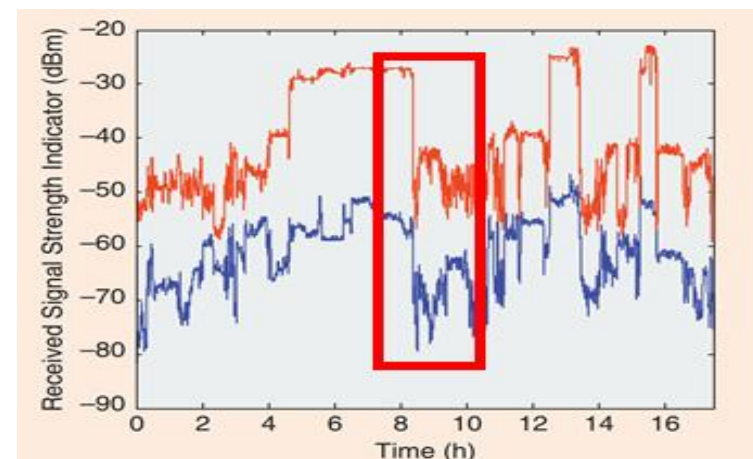
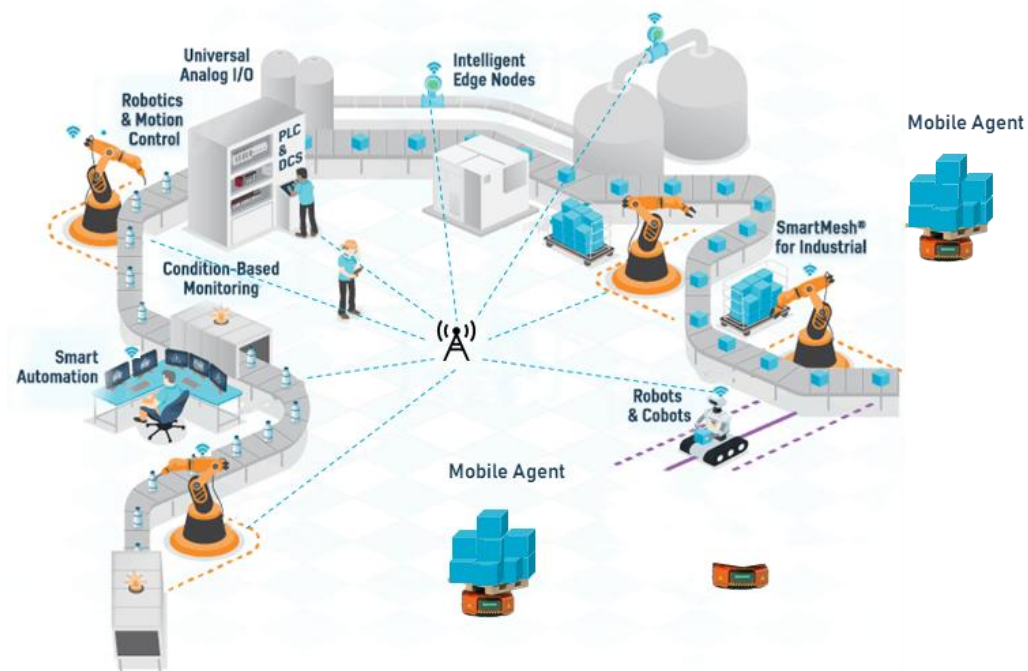
二进制的信道分配变量 (δ)

连续的传输功率和时间分配变量 ($p, q, \mathbf{w}, \Delta, \nabla$)

混合整数非线性规划

- 采用块协作下降法进行迭代求解，联合优化信道分配和功率控制，提高传输成功概率
- 提出了面向感知的适变传输参数设计方法，提升网络系统感知能力

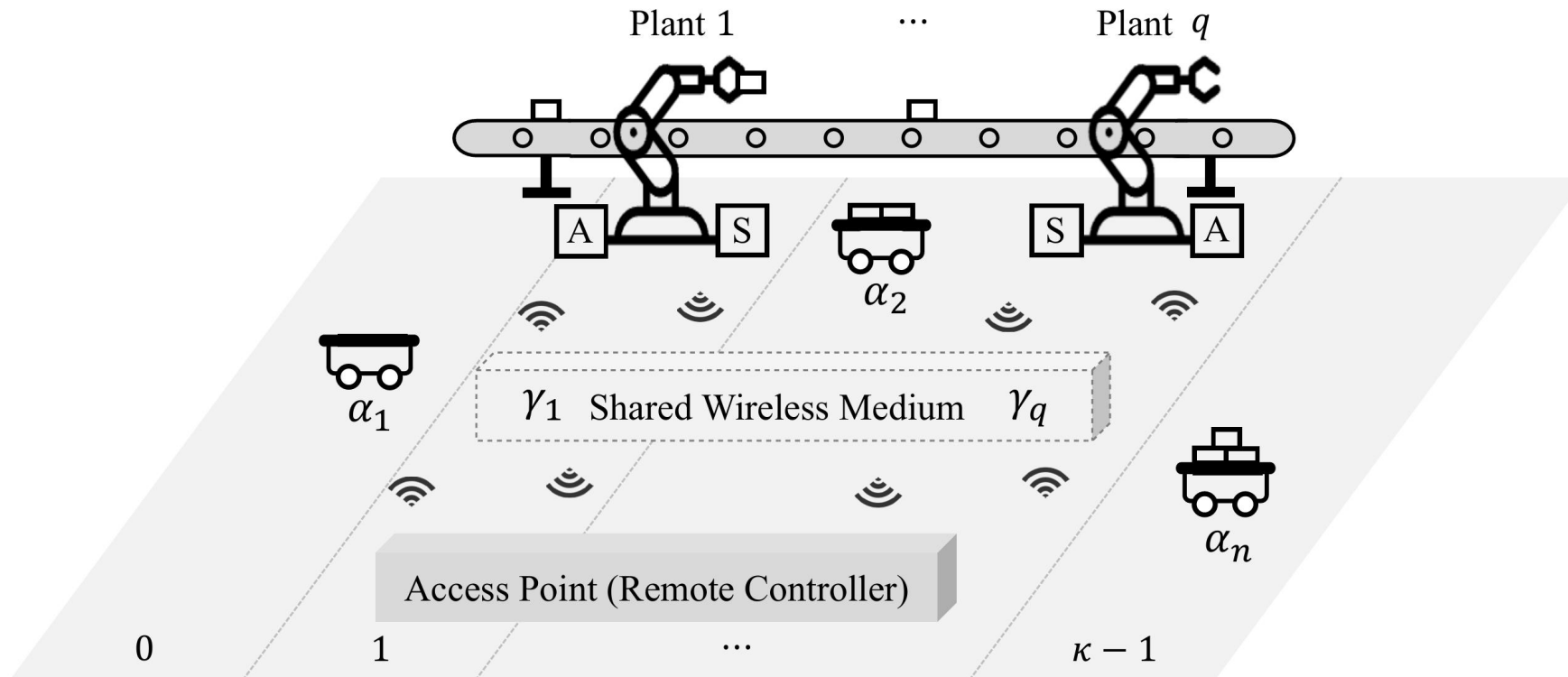
□ 随着工业物联网与智能制造不断深度融合，机器人、AGV 等融入生产过程的各个环节，与已有的无线控制系统(WCS)构成异构工业物联网系统。



[Ahlén et al., *IEEE Control Syst. Mag.*, 2019]

工厂实测：设备移动遮挡可导致信号强度下降高达30dBm

□ 目标: 为状态受限的移动智能体系统(MAS)设计最优控制器，满足WCS性能要求的同时，最小化异构工业系统成本



- q 个Plant, 每个Plant均附有1个传感器(S)和1个执行器(A)
- 所有S通过共享无线信道将Plant的状态测量传输到接入点(AP)进行控制决策, 然后将控制指令下发到A做执行 (关注从S到AP的上行链路传输, 假设从AP到A的下行链路传输是完美的)
- n 个Agent与S、A在工作区内协作执行生产任务
- 共享无线信道采用离散信道模型, 局部信道状态 $\gamma_i(k) \in \{0, \dots, r - 1\}$

□多回路WCS模型

$$x_i(k+1) = A_i x_i(k) + B_i v_i(k) + \xi_i(k)$$
$$y_i(k) = x_i(k)$$

控制输入 过程噪声
↓ ↓

系统矩阵 $A_i \in \mathbb{R}^{n_i \times n_i}$, 输入矩阵 $B_i \in \mathbb{R}^{n_i \times m_i}$

- 每个S获取局部信道状态 $\gamma_i(k)$, 然后依据预设的通信策略 $\varphi_i(k) = h_i(\gamma_i(k)) \in \{0,1\}$ 接入共享信道传输信息
 - $\varphi_i(k) = 0$, 不传输
 - $\varphi_i(k) = 1$, 以固定功率 $\mu_i > 0$ 传输测量信息
- AP接收S的测量信息
 - $\lambda_i(k) = 0$, 第*i*个S的测量信息传输失败。控制策略为 $v_i(k) = 0$
 - $\lambda_i(k) = 1$, 第*i*个S的测量信息传输成功。控制策略可取为LQR型 $v_i(k) = -Kx_i(k)$



$$x_i(k+1) = \begin{cases} A_{c,i} x_i(k) + \xi_i(k), & \lambda_i(k) = 1 \\ A_{o,i} x_i(k) + \xi_i(k), & \lambda_i(k) = 0 \end{cases}$$

□ WCS性能

$$x_i(k+1) = \begin{cases} A_{c,i}x_i(k) + \xi_i(k), & \lambda_i(k) = 1 \\ A_{o,i}x_i(k) + \xi_i(k), & \lambda_i(k) = 0 \end{cases}$$

只要 (A_i, B_i) 可控, 可使得 $A_{c,i}$ 谱半径小于1。故总存在二次Lyapunov函数 $V_i(x_i) = x_i^T Q_i x_i$, 其中 Q_i 正定, 以及常数 $T > 0$, 满足下面的WCS性能

期望衰减率 **持续噪声扰动**

$$\mathbb{E}[V_i(x_i(k+1)) | x_i(k)] \leq \underline{\underline{\underline{\underline{\rho_i}}}}} V_i(x_i(k)) + \underline{\underline{\underline{\underline{Tr(Q_i \Xi_i)}}}}} \quad \forall x_i(k) \in \mathbb{R}^{n_i}, k \geq K_0$$

这里 Q_i 为Lyapunov方程 $A_{c,i}^T Q_i A_{c,i} - Q_i = -P_i$ 的解, 其中 P_i 为正定阵, $0 < 1 - \frac{\lambda_{\min}(P_i)}{\lambda_{\max}(Q_i)} < \rho_i < 1$.

□ 状态依赖衰落信道

现有i.i.d./Markov链衰落信道模型

[Gatsis et al., IEEE TAC, 2014; Zhang and Kassam, IEEE TCOM, 1999]

信道状态独立于物理过程

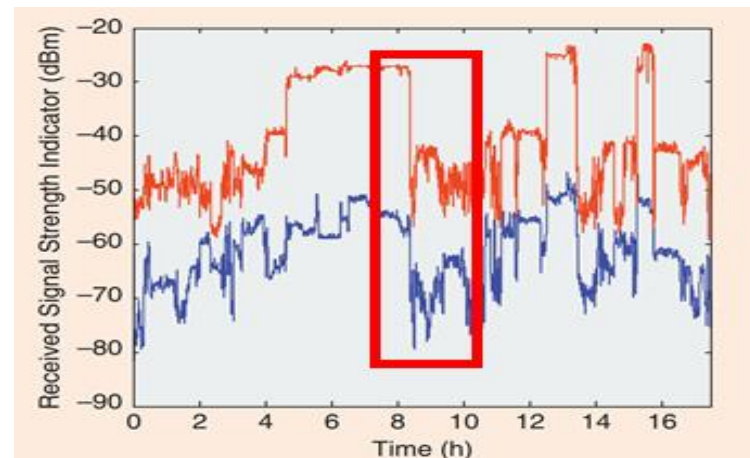
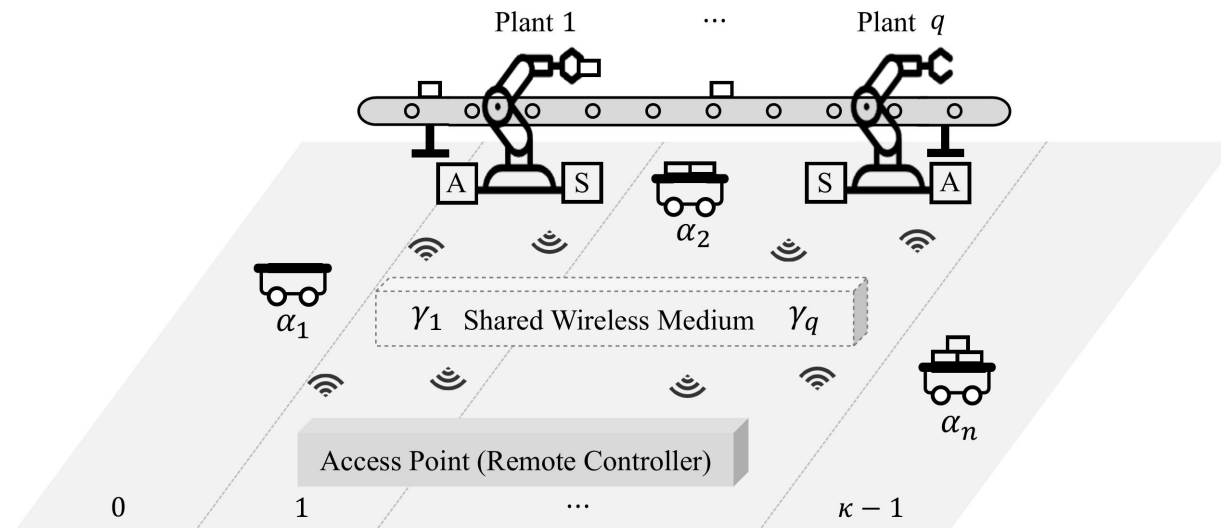
$$E[V_i(x_i(k+1))|x_i(k)] \leq \rho_i V_i(x_i(k)) + Tr(Q_i \Xi_i)$$

VS.

$$\mathbb{P}\{\lambda_i(k) = 1 | \alpha(k) = \alpha\} = \bar{\lambda}_i(\alpha)$$

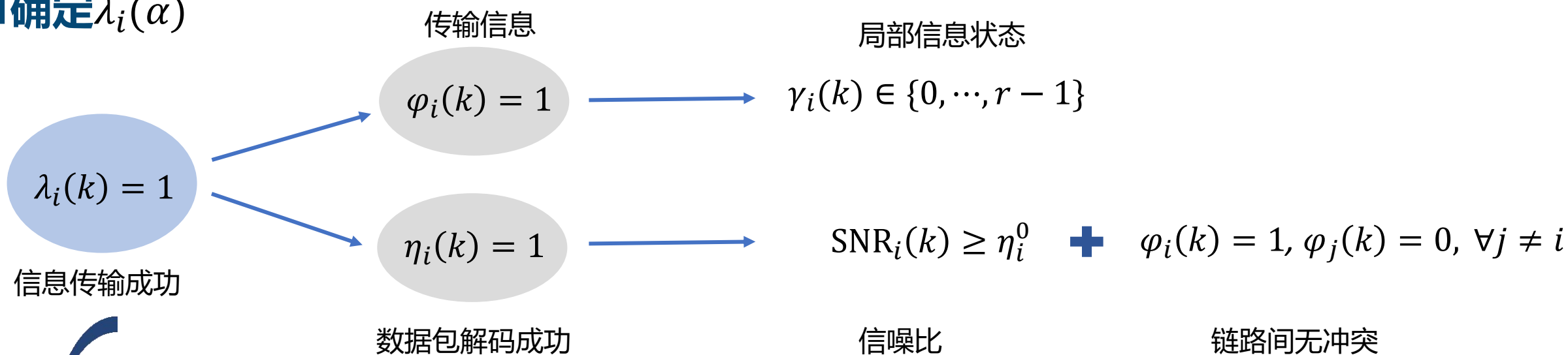
信息传输成功的概率依赖于Agent状态 $\alpha(k)$

$$E[V_i(x_i(k+1))|x_i(k), \alpha(k)] \leq \rho_i V_i(x_i(k)) + Tr(Q_i \Xi_i)$$



设备移动遮挡造成无线信号强度下降

□ 确定 $\bar{\lambda}_i(\alpha)$



$$\begin{aligned}
 \bar{\lambda}_i(\alpha) &= \mathbb{P}\{\varphi_i(k) = 1 | \alpha(k) = \alpha\} \mathbb{P}\{\eta_i(k) = 1 | \alpha(k) = \alpha\} \\
 &= \sum_{a=0}^{r-1} \mathbb{P}\{\gamma_i(k) = a | \alpha(k) = \alpha\} \\
 &\quad \times \mathbb{P}\{\text{SNR}_i(k) \geq \eta_i^0 | \alpha(k) = \alpha, \varphi_i(k) = 1, \varphi_j(k) = 0, \forall j \neq i\} \prod_{j \neq i} \mathbb{P}\{\varphi_j(k) = 0 | \alpha(k) = \alpha\} \\
 &= \sum_{a=0}^{r-1} \bar{\gamma}_i(a, \alpha) h_i(a) \bar{\eta}_i(\alpha)
 \end{aligned}$$

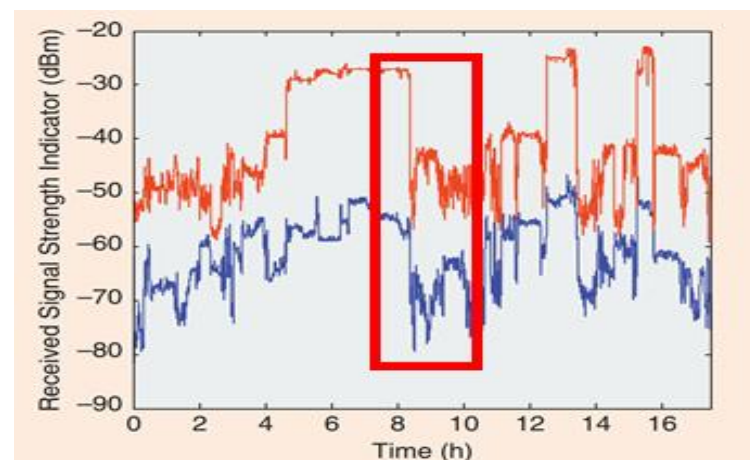
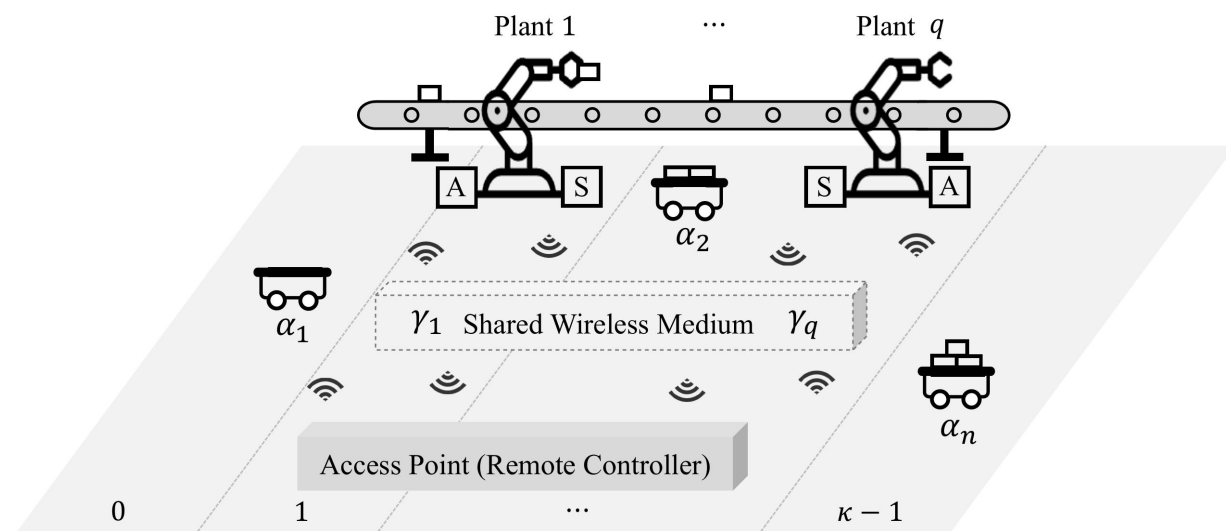
$\bar{\gamma}_i, \bar{\eta}_i$ 可由统计方法+信号设计得到

□ MAS模型

$$\alpha_i(k+1) = \{ \kappa \sum_{j=1}^n a_{i,j} \} \times_{\kappa} \alpha_j(k) +_{\kappa} u_i(k), i = 1, \dots, n$$

有限域的Agent模型

- **有限域**: Agent的位置移动造成阴影衰落, 根据所造成的信道增益阴影效应的程度, 将工作区划分为 κ 个单元
- **Agent的状态**: Agent所在单元的索引, 而非其具体位置
- **Agent的交互**: $a_{i,j} > 0$ 表示Agent i, j 是邻居



设备移动遮挡造成无线信号强度下降

无穷时域最优控制问题

$$\min_u J_u(\alpha_0) = \min_u \lim_{K \rightarrow \infty} \frac{1}{K} \sum_{k=0}^{K-1} \left\{ \sum_{i=1}^q \mu_i \mathbb{P}[\varphi_i(k) = 1 | \alpha(k; \alpha_0, \mathbf{u})] + \lambda g(\alpha(k; \alpha_0, \mathbf{u}), u(k)) \right\}$$

传输能耗
Agent的控制代价

异构动态约束

----> s.t. WCS, MAS 动态

WCS性能约束

----> $E[V_i(x_i(k+1)) | x_i(k), \alpha(k; z_0, u)] \leq \rho_i V_i(x_i(k)) + Tr(Q_i \Xi_i),$

$\forall x_i(k), \forall i, \forall k \geq K_0$

MAS状态约束

----> $\alpha(k; z_0, \mathbf{u}) \in \mathcal{C}_\alpha, \forall k$

MAS输入约束

----> $u(k) \in \mathcal{C}_u(\alpha(k; \alpha_0, \mathbf{u})), \forall k$

连续的WCS与逻辑的MAS耦合在一起，使得最优控制问题求解困难

□ WCS性能→集合镇定

$$\mathbb{E}[V_i(x_i(k+1))|x_i(k), \alpha(k; \alpha_0, \mathbf{u})] \leq \rho_i V_i(x_i(k)) + \text{Tr}(Q_i \mathbf{E}_i)$$

+

$$\begin{aligned} \mathbb{E}[V_i(x_i(k+1))|x_i(k), \alpha(k; \alpha_0, \mathbf{u})] &= \mathbb{P}\{\lambda_i(k) = 1|\alpha(k; \alpha_0, \mathbf{u})\} x_i^T(k) A_{c,i}^T Q_i A_{c,i} x_i(k) \\ &\quad + \mathbb{P}\{\lambda_i(k) = 0|\alpha(k; \alpha_0, \mathbf{u})\} x_i^T(k) A_{o,i}^T Q_i A_{o,i} x_i(k) \\ &\quad + \text{Tr}(Q_i \mathbf{E}_i) \end{aligned}$$

↕

$$\mathbb{P}\{\lambda_i(k) = 1|\alpha(k; \alpha_0, \mathbf{u})\} \geq s_i, \quad s_i = \sup_{y \in \mathbb{R}^{n_i}, y \neq 0} \frac{y^T (A_{o,i}^T Q_i A_{o,i} - \rho_i Q_i) y}{y^T (A_{o,i}^T Q_i A_{o,i} - A_{c,i}^T Q_i A_{c,i}) y}$$

保证WCS性能要求的
无线传输成功概率下界

↕

$$\alpha(k; \alpha_0, \mathbf{u}) \in \Omega(s) = \{\alpha \in \mathcal{C}_\alpha | \bar{\lambda}_i(\alpha) \geq s_i, i = 1, 2, \dots, q\}$$

保证WCS性能要求的受限MAS局势集合

集合镇定

定理: 给定初始状态 $\alpha_0 \in \mathcal{C}_\alpha$, 在状态依赖衰落信道以及MAS的状态约束及输入约束下,

WCS的控制性能要求得以保证, 当且仅当MAS系统是受限 $I(\Omega(s))$ -镇定的,

其中 $I(\Omega(s))$ 是 $\Omega(s) = \{\alpha \in \mathcal{C}_\alpha | \bar{\lambda}_i(\alpha) \geq s_i = \sup_{y \in \mathbb{R}^{n_i}, y \neq 0} \frac{y^T (A_{o,i}^T Q_i A_{o,i} - \rho_i Q_i) y}{y^T (A_{o,i}^T Q_i A_{o,i} - A_{c,i}^T Q_i A_{c,i}) y}, i = 1, 2, \dots, q\}$ 的最大受限控制不变集, 即存在控制序列 $\mathbf{u} \in \mathcal{C}_u(\alpha(k; \alpha_0, \mathbf{u}))$ 和常数 $K_0 > 0$, 使得 $\alpha(k; \alpha_0, \mathbf{u}) \in \mathcal{C}_\alpha, \forall k < K_0$ 且 $\alpha(k; \alpha_0, \mathbf{u}) \in I(\Omega(s)), \forall k \geq K_0$.

可行性分析

有限域MAS模型是非线性的，利用半张量积进行线性化

$$\alpha_i(k+1) = \{ \times_{j=1}^n \} a_{i,j} \times_{\kappa} \alpha_j(k) +_{\kappa} u_i(k)$$



$$\alpha(k+1) = \overset{\text{状态转移矩阵}}{F} u(k) \alpha(k)$$

有限域MAS模型

双线性MAS模型

定理: 给定初始状态 $\alpha_0 \in \mathcal{C}_{\alpha}$, MAS系统是受限 $I(\Omega(s))$ -镇定的当且仅当 $I(\Omega(s)) \cap \mathcal{R}(\alpha_0) \neq \emptyset$, 其中 $\mathcal{R}(\alpha_0)$ 是从初始状态 α_0 出发可达的受限状态集合。如果MAS系统是受限 $I(\Omega(s))$ -镇定的, 则 $\mathcal{C}(G[\Phi]) \neq \emptyset$, 其中 $\mathcal{C}(G[\Phi])$ 是导出子图 $G[\Phi]$ 的所有环的集合。

Algorithm 1 : Calculation of LCCIS $I(\Omega(s))$

Input: $\Omega(s), F$

Output: $I(\Omega(s))$

- 1: $\Lambda_0 \leftarrow \Omega(s), i \leftarrow 1$
 - 2: Calculate $\Lambda_i = \{\alpha \in \Lambda_{i-1} : \mathcal{R}_1(\alpha) \cap \Lambda_{i-1} \neq \emptyset\}$
 - 3: **if** $\Lambda_i == \Lambda_{i-1}$ **then** $I(\Omega(s)) \leftarrow \Lambda_i$ and Break
 - 4: **else** $i \leftarrow i + 1$ and Back to Step 2
-

Algorithm 2 : Calculation of constrained reachable set $\mathcal{R}(\alpha_0)$

Input: $\mathcal{R}_0(\alpha_0)$

Output: $\mathcal{R}(\alpha_0)$

- 1: $\mathcal{R}(\alpha_0) \leftarrow \emptyset, k \leftarrow 1$
 - 2: Calculate $\mathcal{R}_k(\alpha_0) = (\cup_{\alpha \in \mathcal{R}_{k-1}(\alpha_0)} \mathcal{R}_1(\alpha)) \setminus \mathcal{R}(\alpha_0)$
 - 3: $\mathcal{R}(\alpha_0) \leftarrow \mathcal{R}(\alpha_0) \cup \mathcal{R}_k(\alpha_0)$
 - 4: **if** $\mathcal{R}_k(\alpha_0) == \emptyset$ **then** Break
 - 5: **else** $k \leftarrow k + 1$ and Back to Step 2
-

Algorithm 3 : Construction of optimal input sequence \mathbf{u}^*

Input: $G[\Phi]$, $\alpha_0 = \delta_N^{a_0}$, $\mathcal{R}_i(\alpha_0)$, $i = 1, \dots, r$

Output: \mathbf{u}^*

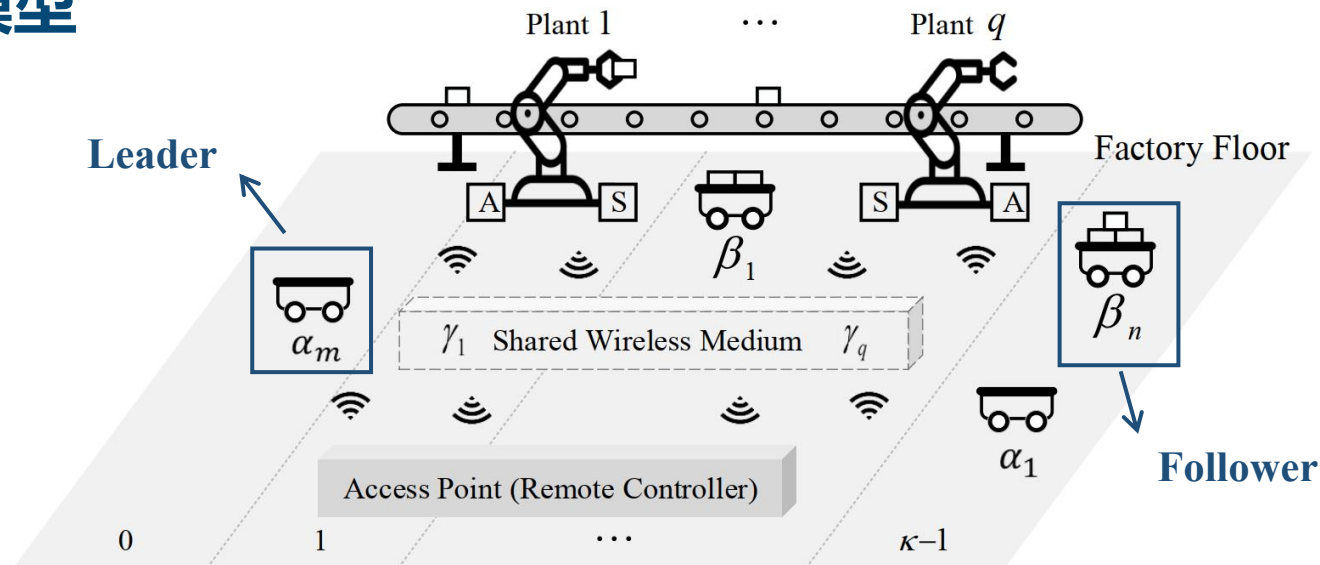
- 1: Compute strongly connected components of $G[\Phi]$ as $G[\mathcal{V}_i] = (\mathcal{V}_i, \mathcal{E}_i, w)$, $i = 1, \dots, s$
- 2: **for** $i \leftarrow 1$ to s **do**
- 3: Initial $(|\mathcal{V}_i| + 1) \times |\mathcal{V}_i|$ arrays H_i and I_i with ∞
- 4: $H_i[0, a_i] \leftarrow 0$, $\delta_N^{a_i} \in \mathcal{V}_i$ is a source vertex in $G[\mathcal{V}_i]$
- 5: **for** $k \leftarrow 1$ to $|\mathcal{V}_i|$ **do**
- 6: **for** $\delta_N^a \in \mathcal{V}_i$ **do**
- 7: $H_i[k, a] \leftarrow \min_{(\delta_N^b, \delta_N^a) \in \mathcal{E}_i} H_i[k - 1, b] + w(\delta_N^b, \delta_N^a)$
- 8: $I_i[k, a] \leftarrow b^*$, b^* is the minimizer in Line 7
- 9: Solve (18) and get ϵ_i^* , $\alpha_i^* \leftarrow \delta_N^{b_i, |\mathcal{V}_i|}$
- 10: $\iota \leftarrow \arg \min_{i=1}^s \epsilon_i^*$
- 11: Create an array c^* of size $|\mathcal{V}_\iota| + 1$ with $c^*[\iota] \leftarrow b_{\iota, |\mathcal{V}_\iota|}$
- 12: **for** $k \leftarrow |\mathcal{V}_\iota|$ to 1 **do** $c^*[k - 1] \leftarrow I_\iota[k, c^*[k]]$
- 13: Initialize an integer array A of size $N + 1$ with 0
- 14: **for** $k \leftarrow 0$ to $|\mathcal{V}_\iota|$ **do** $b_{\iota, k} \leftarrow c^*[k]$
- 15: **if** $A[b_{\iota, k}] = 0$ **then** $A[b_{\iota, k}] \leftarrow k$
- 16: **else** $\varphi \leftarrow A[b_{\iota, k}]$, $\psi \leftarrow k - 1$ and **Break**
- 17: A simple minimum-mean cycle is $C^* = \{\delta_N^{c^*[\varphi]}, \delta_N^{c^*[\varphi+1]}, \dots, \delta_N^{c^*[\psi]}, \delta_N^{c^*[\varphi]}\}$

- 18: **if** $\alpha_0 \in C^*$ **then**
- 19: $\varsigma \leftarrow 0$, $\bar{c}^*[k] \leftarrow c^*[k]$, and go to Line 28
- 20: **else** $\varsigma \leftarrow \arg \min_{i=1}^r \{\mathcal{R}_i(\alpha_0) \cap C^* \neq \emptyset\}$
- 21: Create an array t^* of size $\varsigma + 1$ with $t^*[0] \leftarrow a_0$ and $t^*[\varsigma] \leftarrow a$, $\delta_N^a \in \mathcal{R}_\varsigma(\alpha_0) \cap C^*$
- 22: **for** $k \leftarrow \varsigma - 1$ to 1 **do**
- 23: $t^*[k] \leftarrow a$, $\delta_N^a \in \mathcal{R}_k(\alpha_0)$, $t^*[k + 1] \in \mathcal{R}_1(\delta_N^a)$
- 24: The trajectory before enter C^* is $\mathcal{T}^* = \{\delta_N^{t^*[0]}, \delta_N^{t^*[1]}, \dots, \delta_N^{t^*[\varsigma-1]}\}$
- 25: The length of C^* is $l \leftarrow \psi - \varphi + 1$
- 26: Create an array \bar{c}^* of size $l + 1$
- 27: Rearrange the element of C^* as $C^* = \{\delta_N^{\bar{c}^*[0]}, \delta_N^{\bar{c}^*[1]}, \dots, \delta_N^{\bar{c}^*[l]}\}$, $\bar{c}^*[0] = \bar{c}^*[l] = t^*[\varsigma]$
- 28: An optimal input sequence is $\mathbf{u}^* = \{u^*(k) : k \in \mathbb{N}\}$ with

$$u^*(k) \in \begin{cases} U_{t^*[k], t^*[k+1]}, & k = 0, \dots, \varsigma - 1; \\ \bar{U}_{\bar{c}^*[k-(\varsigma+jl)], \bar{c}^*[k-(\varsigma+jl)+1]}, & k = \varsigma + jl, \\ \dots, \varsigma + (j + 1)l - 1, j \in \mathbb{N} \end{cases}$$

where $U_{a,b}$, $\bar{U}_{a,b}$ are defined in (15) and (16), respectively

领航-跟随MAS模型



Leader $\alpha_l(k+1) = u_l(k), l = 1, \dots, m$

Follower $\beta_i(k+1) = \{_{\kappa} \sum_{j=1}^n \} a_{i,j}^{\sigma(k)} \times_{\kappa} \beta_j(k) + \{_{\kappa} \sum_{l=1}^m \} b_{i,l}^{\sigma(k)} \times_{\kappa} \alpha_l(k), i = 1, \dots, n$

- 切换拓扑 $\sigma(k) \in \{1, \dots, w\}$: 邻集随Agent移动而变
- $a_{i,j}^{\sigma(k)}, b_{i,j}^{\sigma(k)}$ 刻画了Agent间动态时变的交互关系

向量形式

$$\begin{aligned}\beta_i(k+1) &= \left\{ \sum_{j=1}^n \right\} a_{i,j}^{\sigma(k)} \times_{\kappa} \beta_j(k) \\ &\quad +_{\kappa} \left\{ \sum_{l=1}^m \right\} b_{i,l}^{\sigma(k)} \times_{\kappa} \alpha_l(k), i = 1, \dots, n \\ \alpha_i(k+1) &= u_i(k), i = 1, \dots, m\end{aligned}$$

领航-跟随MAS模型



状态转移矩阵

$$\begin{aligned}\beta(k+1) &= Fz(k) \\ \alpha(k+1) &= u(k)\end{aligned}$$

双线性MAS模型

□集合镇定判据——关于 $\beta(k)$

定义: 若对于任意 $\beta_0 \in \mathcal{S}$, 存在序列 $\alpha = \{\alpha(k): (\alpha(k), \beta(k)) \in \mathcal{M}, k \in \mathbb{N}\} \subseteq \mathcal{C}_\alpha$ 使得 $\beta(k; \beta_0, \alpha) \in \mathcal{S}, \forall k \in \mathbb{N}$, 称集合 $\mathcal{S} \subseteq \mathcal{C}_\beta$ 为MAS关于集合 $\mathcal{M} \subseteq \mathcal{C} = \mathcal{C}_\alpha \times \mathcal{C}_\beta$ 的一个**受限控制不变集**。



构造 $I(\Omega(\mathcal{S})) \subseteq \mathcal{C}_\beta$: 关于集合 $\Omega(\mathcal{S})$ 的**最大受限控制不变集**



定理: 状态依赖衰落信道下WCS性能要求满足, 当且仅当存在 $u \subseteq \mathcal{C}_\alpha, T$, 使得 $\beta(k; z_0, u) \in \mathcal{C}_\beta, \forall k < T$; $\beta(k; z_0, u) \in I(\Omega(\mathcal{S})), \forall k \geq T$ 。

将原最优控制问题转化为MAS的最优受限集合镇定问题, 消除了两系统间的耦合

基于图论的可行性分析

- 初始位置 $z_0 = \bar{\alpha} \times \delta_N^{\bar{\alpha}}$
- 受限状态转移图 $G_1 = (V, E)$

$$V = \{v_a = \delta_N^a : \delta_N^a \in C_\beta\},$$

$$E = \{(v_a, v_b) \in V \times V : \delta_N^b \in R_1(\delta_N^a; C_\alpha)\} \setminus \{(v_{\bar{a}}, v_b) : v_b \neq Fz_0\}$$

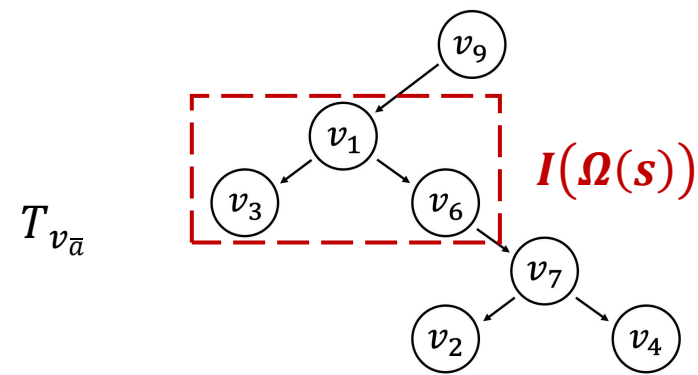
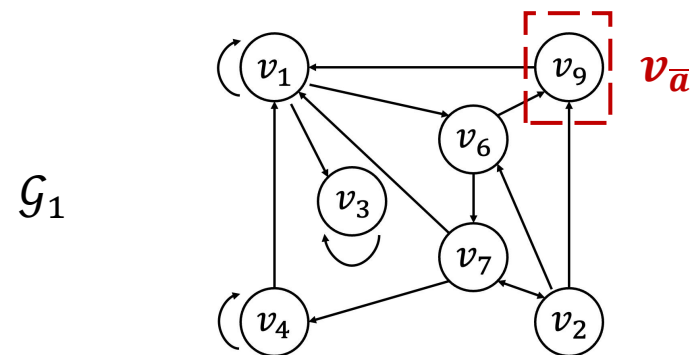
删除违背初始条件的边

定理: 状态依赖衰落信道下WCS性能要求得以保证, 当且仅当 $I(\Omega(s)) \cap V(T_{v_{\bar{a}}}) \neq \emptyset$.

- $T_{v_{\bar{a}}}$: G_1 中以 $v_{\bar{a}}$ 为根的广度优先生成树
- $\mathcal{R}(z_0)$: 从初始位置出发的状态能达集, $\mathcal{R}(z_0) = V(T_{v_{\bar{a}}})$

$$\beta(k+1) = Fz(k) \quad \alpha(k+1) = u(k)$$

$$I(\Omega(s)) = \{\delta_9^1, \delta_9^3, \delta_9^6\}$$



✓

□ 最优控制器设计

Algorithm 1 : Construction of optimal input sequences

权重：单步状态转移的最小成本

Input: Constrained STG \mathcal{G}_1 , weighted STG \mathcal{G}_2 , initial state profile $\beta_0 = \delta_N^{a_0}$

加权受限状态转移图 $\mathcal{G}_2 = (I(\Omega(s)) \cap \mathcal{R}(z_0), E, w)$

Output: Optimal input sequences $u^* = \{u^*(k) : k \in \mathbb{N}\}$

1: Find the simple minimum-mean cycle in \mathcal{G}_2 as c^* → 寻找 \mathcal{G}_2 中的简单最小平均环 c^*

2: Find the shortest path from v_{a_0} to c^* by proceeding breadth-first search on \mathcal{G}_1 as $\mathcal{P} = \{v_{a_0}, \dots, v_{a_{\iota_1}}, v_{b_0}\}$, where $\{v_{a_i} : i = 0, \dots, \iota_1\} \cap c^* = \emptyset$, $c^* = \{v_{b_j} : j = 0, \dots, \iota_2\}$

3: Set

$$u^*(k) \in \begin{cases} \Pi_{a_{k+1}, a_{k+2}}(\mathcal{G}_1), & k = 0, \dots, \iota_1 - 1; \\ \bar{\Pi}_{b_{k-\iota(\epsilon)}, b_{k-\iota(\epsilon)+1}}(\mathcal{G}_2), & k = \iota(\epsilon), \dots, \iota(\epsilon) + \iota_2; \end{cases}$$

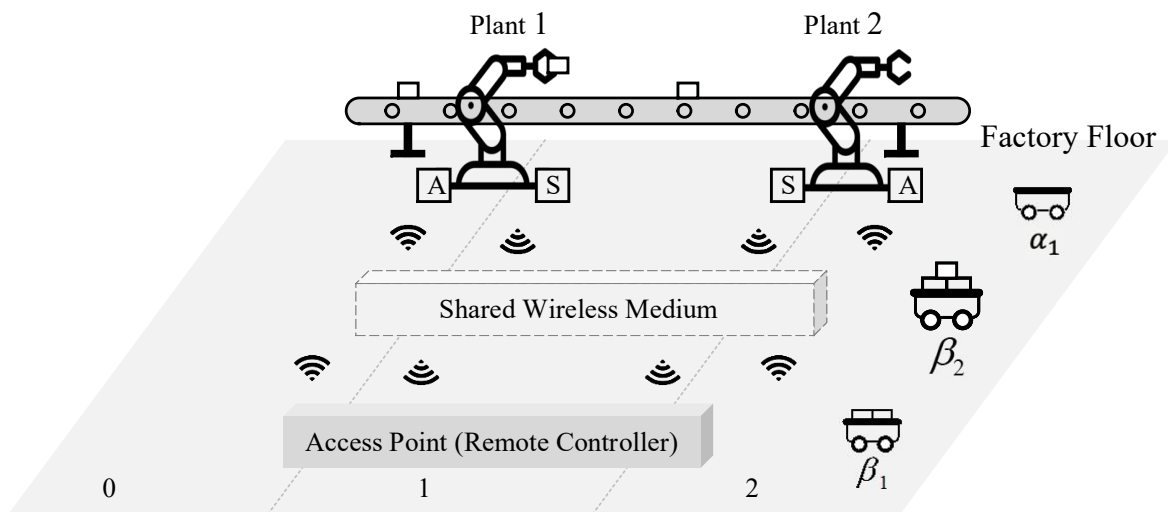
状态进入环 c^*

状态重复环 c^*

where $\iota(\epsilon) = \iota_1 + \epsilon(\iota_2 + 1)$, $\epsilon \in \mathbb{N}$, $a_{\iota_1+1} = b_{\iota_2+1} = b_0$, $\Pi_{a,b}(\cdot)$, $\bar{\Pi}_{a,b}(\cdot)$ are defined in (15) and (17), respectively

定理: 算法1所构造的 u^* 是无穷时域最优控制问题的解, 且最优值 $J_{u^*}(z_0) = \bar{w}(c^*)$ 。

仿真结果



- 工作区: $\{0,1,2\}$
- 一个Control Agent, 两个State Agent
- 初始位置 $(\alpha_1(0), \beta_1(0), \beta_2(0)) = (2,2,2)$
- 状态约束 $(\alpha_1(k), \beta_1(k), \beta_2(k)) \notin \{(i, 1, 1), (i, 2, 1), i = 0,1,2\}$

■ 闭环系统矩阵

$$A_{c,1} = \begin{bmatrix} -0.1 & -0.1 \\ 0.1 & 0.2 \end{bmatrix}, A_{c,2} = 0.2$$

开环系统矩阵

$$A_{o,1} = \begin{bmatrix} -1 & -0.4 \\ -0.5 & 0.3 \end{bmatrix}, A_{o,2} = 1$$

■ WCS性能要求:

$$\text{衰减率: } \rho_1 = 0.95, \rho_2 = 0.9$$

■ 保证上述性能要求的**无线传输成功概率下界:**

$$s_1 = 0.28, s_2 = 0.10$$

- 状态依赖衰落信道 $\mathbb{P}\{\lambda_i(k) = 1|z(k)\} = \Lambda_i z(k)$, 其中

$$\mathbb{P}\{\lambda_1(k) = 1 | (\alpha_1(k), \beta_1(k), \beta_2(k)) = (2, 2, 02)\} = 0.15$$

$$\Lambda_1 = \left[\underbrace{0.31 \cdots 0.31}_{7} \underbrace{0.10 \cdots 0.10}_{7} \underbrace{0.30 \cdots 0.30}_{7} \underbrace{0.15 \cdots 0.15}_{6} \right];$$

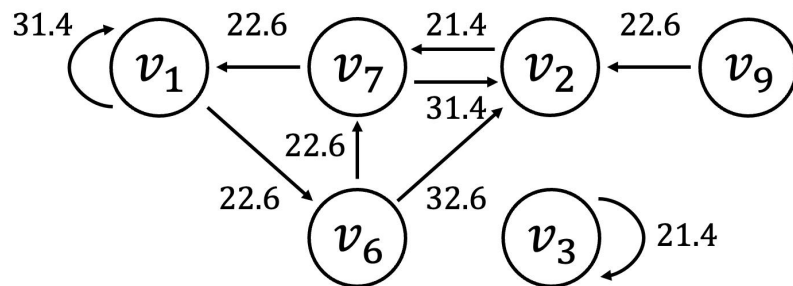
$$\Lambda_2 = \left[\underbrace{0.13 \cdots 0.13}_{7} \underbrace{0.27 \cdots 0.27}_{7} \underbrace{0.13 \cdots 0.13}_{7} \underbrace{0.25 \cdots 0.25}_{6} \right];$$

$$\mathbb{P}\{\lambda_2(k) = 1 | (\alpha_1(k), \beta_1(k), \beta_2(k)) = (2, 2, 2)\} = 0.25$$

- 保证WCS性能要求的MAS受限局势 $(\alpha_1, \beta_1, \beta_2)$ 构成的集合:

$$\Omega(s) = \{(0,0,0), (0,0,1), (0,0,2), (0,1,0), (0,1,2), (0,2,0), (1,1,2), (1,2,0), (1,2,2), (2,0,0), (2,0,1), (2,0,2)\}$$

■ 加权受限状态转移图 G_2 :



最小平均环 $c^* = \{(0, 2)\}$, 平均权重 $\bar{w}(c^*) = 21.4$

■ 最优控制序列: $u^*(0) = 1, u^*(k) = 0, k \geq 1$

■ 位置转移 $(\alpha_1(0), \beta_1(0), \beta_2(0)) \rightarrow (\alpha_1(1), \beta_1(1), \beta_2(1)) \rightarrow \dots$:

MAS模型

$$\alpha_i(k+1) = u_i(k), i = 1, \dots, m$$

$$\beta_i(k+1) = \{ \times_{\kappa} \sum_{j=1}^n a_{i,j}^{\sigma(k)} \times_{\kappa} \beta_j(k) + \times_{\kappa} \{ \sum_{l=1}^m b_{i,l}^{\sigma(k)} \times_{\kappa} \alpha_l(k) \}, i = 1, \dots, n$$

$$(2,2,2) \rightarrow (1,0,0) \rightarrow (0,0,2) \rightarrow (0,0,2) \rightarrow \dots \in \Omega(s)$$

$$\mathbb{P}\{\lambda_1(k) = 1 | (\alpha_1(k), \beta_1(k), \beta_2(k))\}$$

0.15 0.10

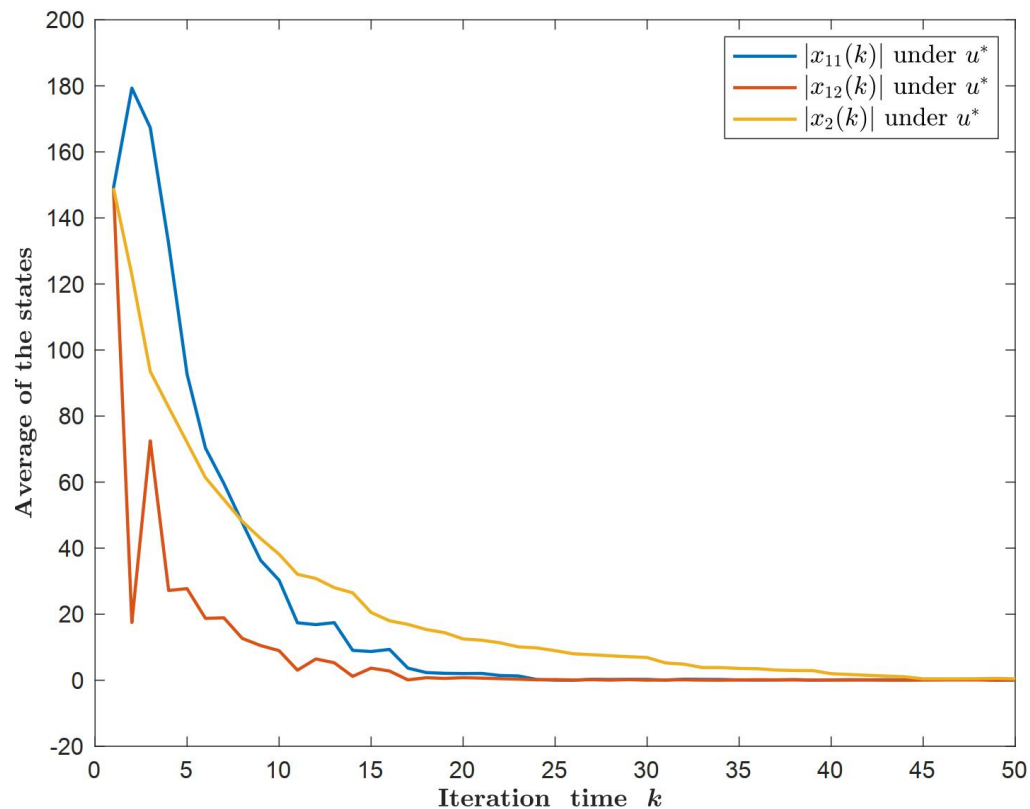
0.31 0.31 ... $> s_1$

$$\mathbb{P}\{\lambda_2(k) = 1 | \alpha_1(k), \beta_1(k), \beta_2(k)\}$$

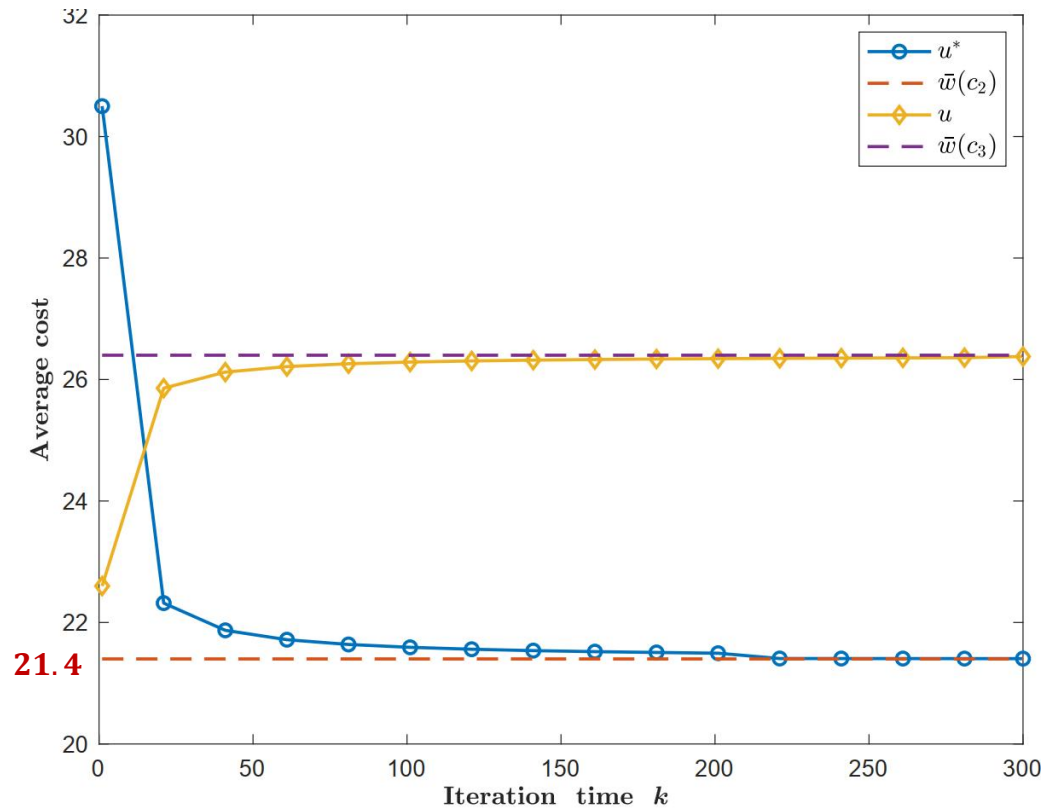
0.25 0.27

0.13 0.13 ... $> s_2$

有限时间收敛到最优!



- 保证WCS性能要求
- 实现有限时间收敛

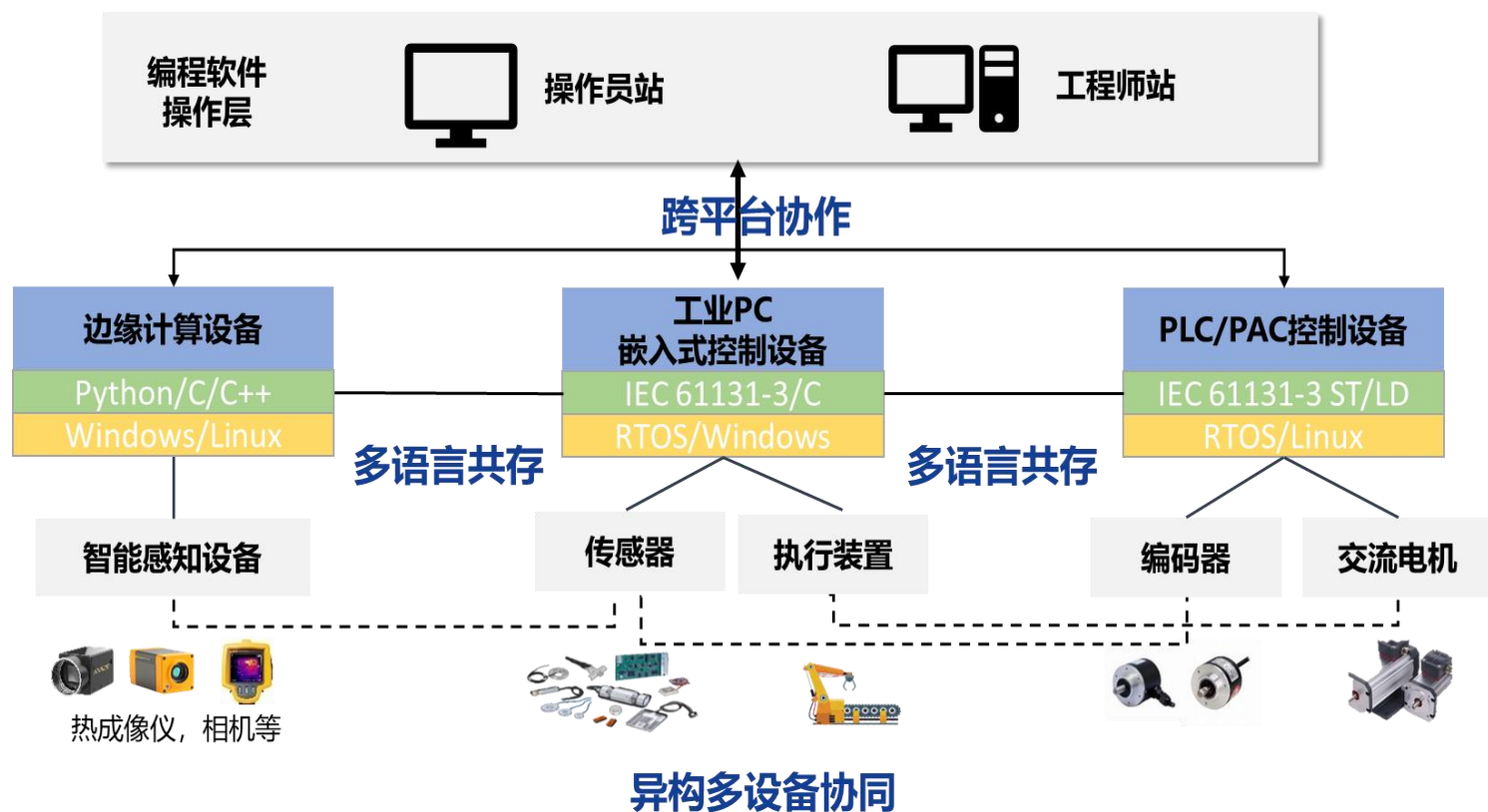


- 最小化系统无穷时域平均成本
- 无穷时域平均成本依赖于最小平均环 c^* 的平均权重

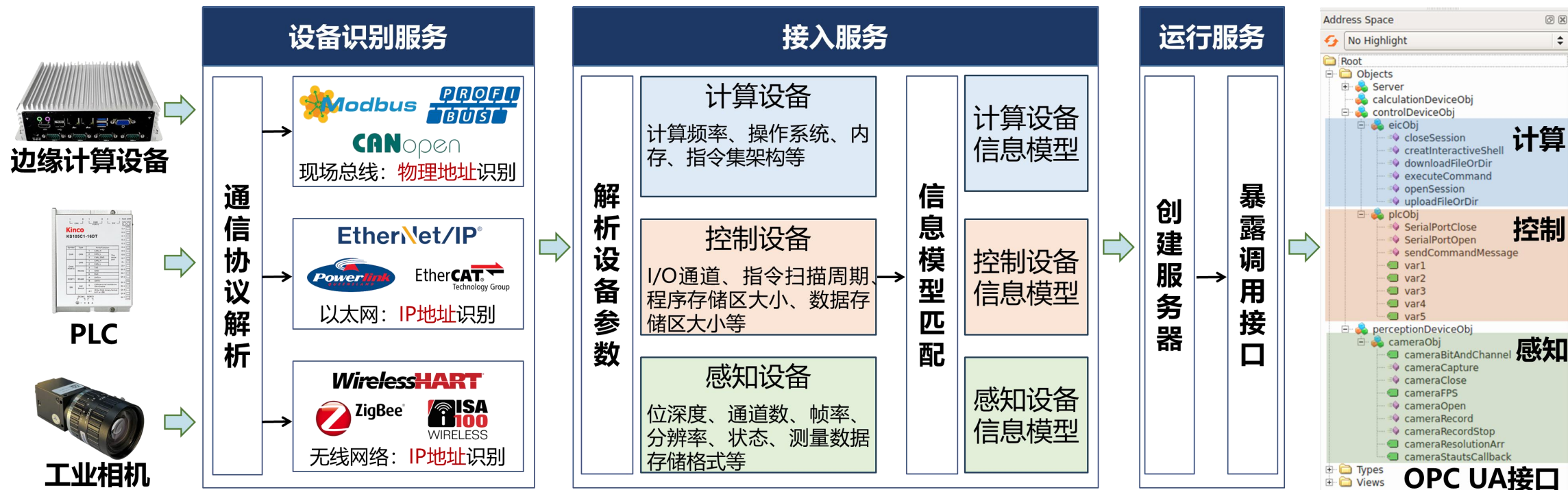
感知计算控制多类型设备统一管理

□ 当前分离的设备管理模式无法满足工业网络系统智能化发展需求!

- 设备类型多样，描述方式差异大
- 感算控设备使用不同语言编程，硬件体系架构多样
- 软硬件高度集成，设备配置软件“专机专用”

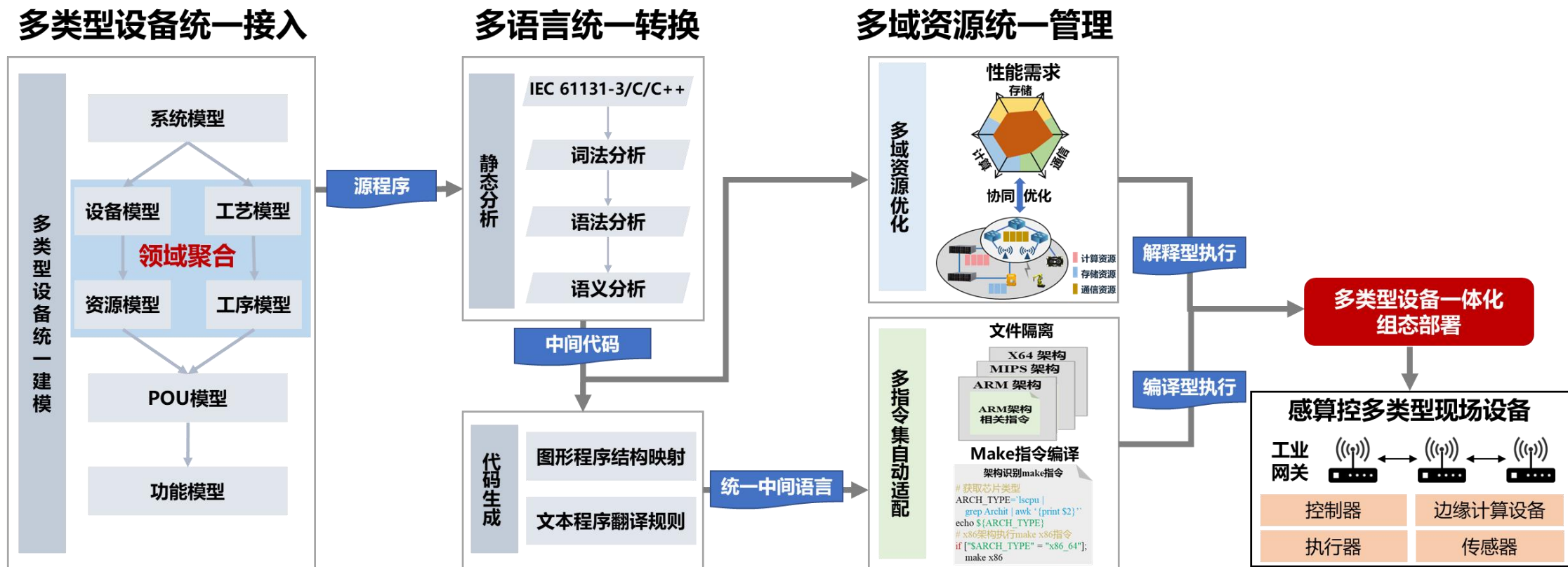


感算控设备统一管理:



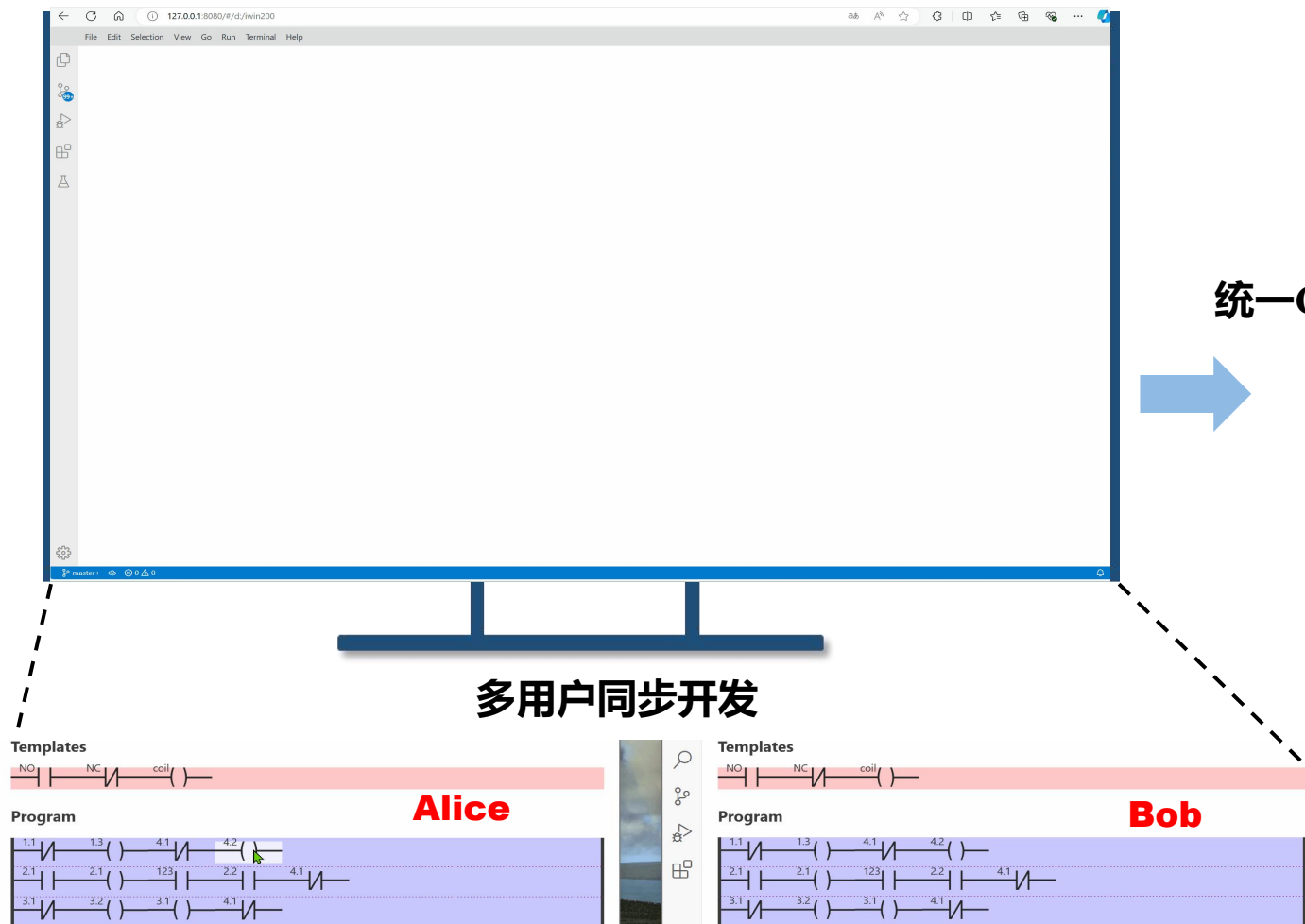
初步解决了多类型设备配置复杂度高的问题，通过统一的设备信息模型和交互接口，提升设备间跨平台协同效率

通过设备统一接入，程序统一转换，多域资源统一配置，实现设备软硬件解耦



形成面向感知-计算-控制融合的组态部署一体化架构，提升设备间跨平台协同效率

开发工控集成组态可编程软件2.0



- 支持Web编程
- 支持插件化、跨设备组态
- 支持IEC 6113-3、Python 6种编程语言
- 支持感算控多类型设备接入
- 支持X64、ARM 2种处理器架构设备统一管理
- 支持多用户同步开发

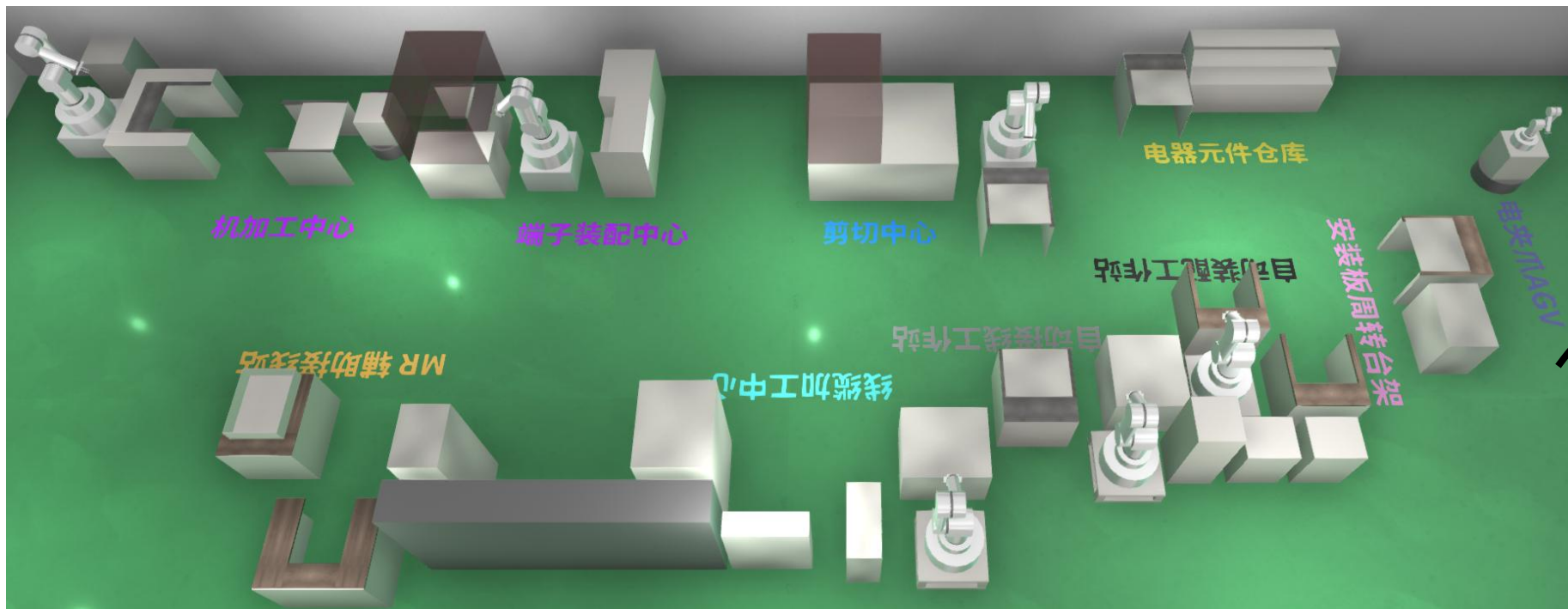
应用验证：定制化柔性自动化生产系统

机加工中心

端子装配中心

剪切中心

电气元件仓库



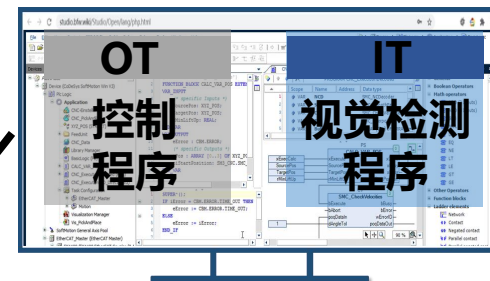
MR辅助接线站

线缆加工中心

自动接线工作站

自动装配工作站

线缆、导轨、电控柜等
元件**定制化**生产



- 运行状态**统一**管理
- **IT-OT**程序同时兼容
- 多设备程序**一键**下发更新

1个管控平台，1个元件仓库，8个工作岛



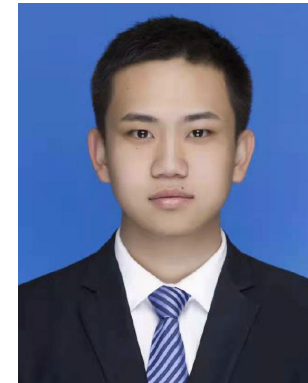
**纪智铎(2023
毕业)**



**王淑玲
(博士三年级)**



**梁永辉
(博士二年级)**



**李沛哲
(直博四年级)**



陈彩莲教授



关新平教授

**谢谢！
敬请批评指正！**

iwin.sjtu.edu.cn